

Epitaksjalne warstwy CoO(111)/Fe(110) i NiO(111)/Fe(110) czyli jak ferromagnetyk steruje antyferromagnetykiem



AGH University of Science and Technology,
Faculty of Physics and Applied Computer Science,
Kraków, Poland

M. Ślęzak
A. Koziół-Rachwał
H. Nayyef
M. Szpytma
W. Janus
P. Drózdź
T. Ślęzak

National Synchrotron Radiation Centre SOLARIS,
Jagiellonian University, Kraków, Poland

K. Matlak
M. Zając

Jerzy Haber Institute of Catalysis and Surface Chemistry PAS,
Kraków, Poland

D. Wilgocka-Ślęzak
J. Korecki

Elettra - Sincrotrone Trieste, Basovizza,
Trieste, Italy

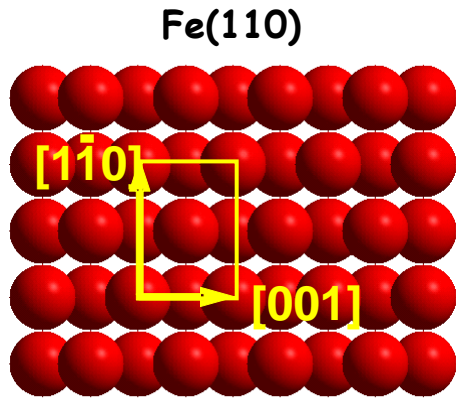
T. O. Mentęs
F. Genuzio (CERIC)
A. Locatelli

Plan prezentacji

- Inżynieria anizotropii magnetycznej na powierzchni Fe(110):
 - **Reorientacja spinowa (SRT) w Fe(110)**
 - Au/Fe(110)
- Inżynieria anizotropii magnetycznej w **antyferromagnetykach**:
 - Efekt polaryzacji wymiennej (Exchange Bias)
 - CoO(111)/Fe(110) – „zamrażanie” spinów AFM
 - NiO(111)/Fe(110) – reorientacja spinów AFM
- Plany na przyszłość

Wprowadzenie

Reorientacja spinowa (Spin Reorientation Transition) w Fe/W(110)

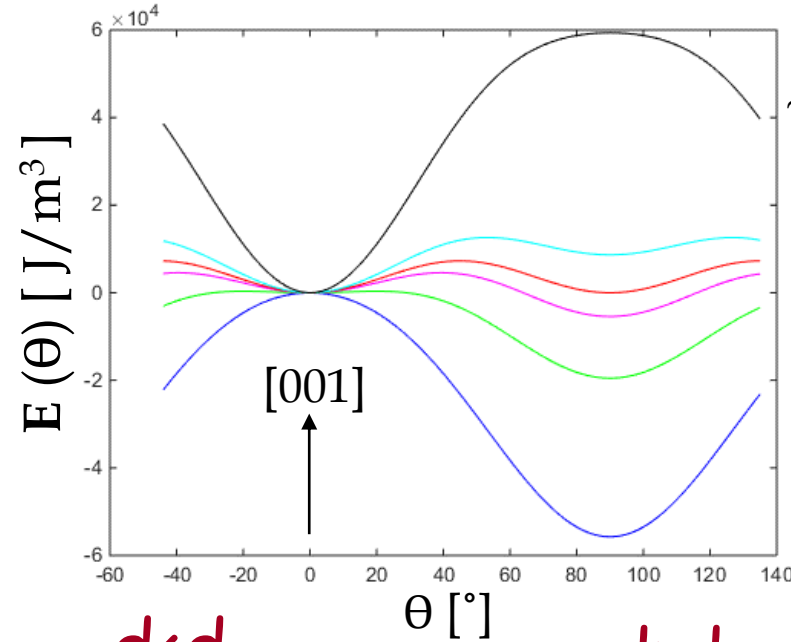


$$E_{m \text{ in-plane}}(\theta) = A \sin^2(\theta) + B \sin^4(\theta)$$

$$A = K_{vp} - K_{sp}/d$$

$$B = K_{vpp} - K_{spp}/d$$

[1-10] anisotropy



~ bulk Fe

150 Å

130 Å - critical SRT thickness

120 Å

100 Å

70 Å

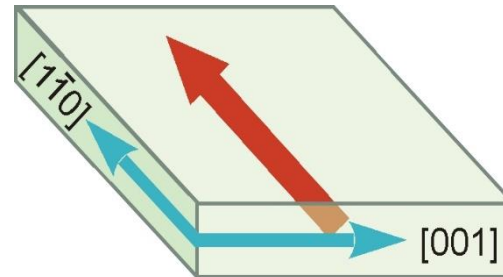
$$K_{vp} = 10.60 \cdot 10^4 \text{ J/m}^3$$

$$K_{vpp} = -0.60 \cdot 10^4 \text{ J/m}^3$$

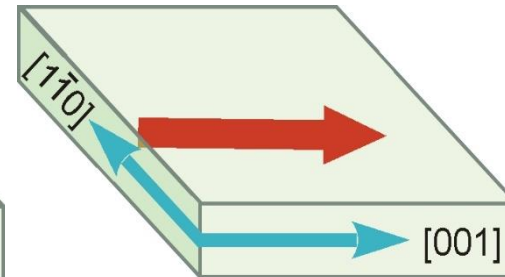
$$K_{sp} = 0.82 \cdot \text{mJ/m}^2$$

$$K_{spp} = 0.48 \cdot \text{mJ/m}^2$$

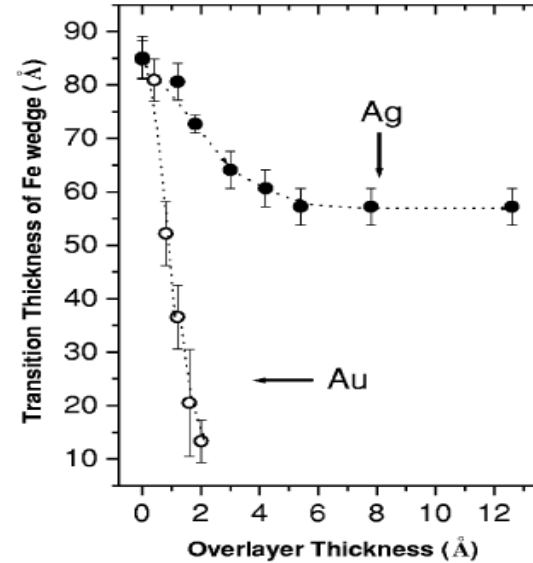
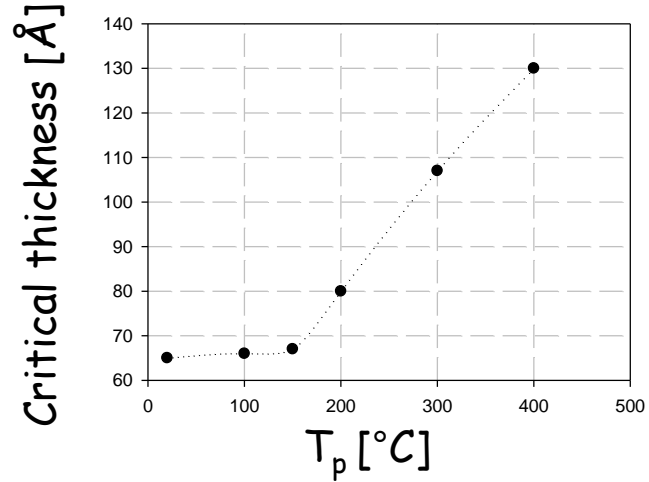
$d < d_{crt}$



$d > d_{crt}$

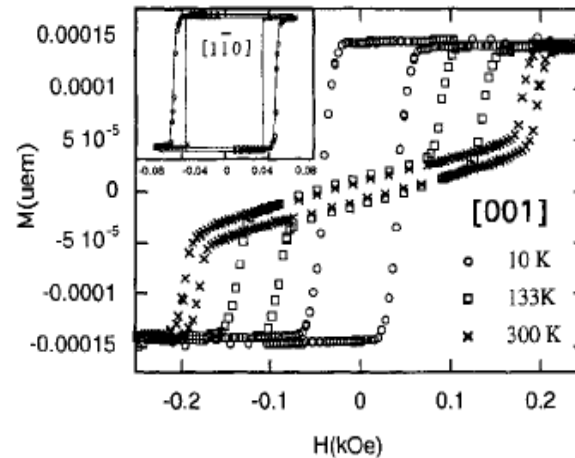


Magnetic surface anisotropy modifications



Albrecht et al., *JMMM* 113 (1992) 207-220

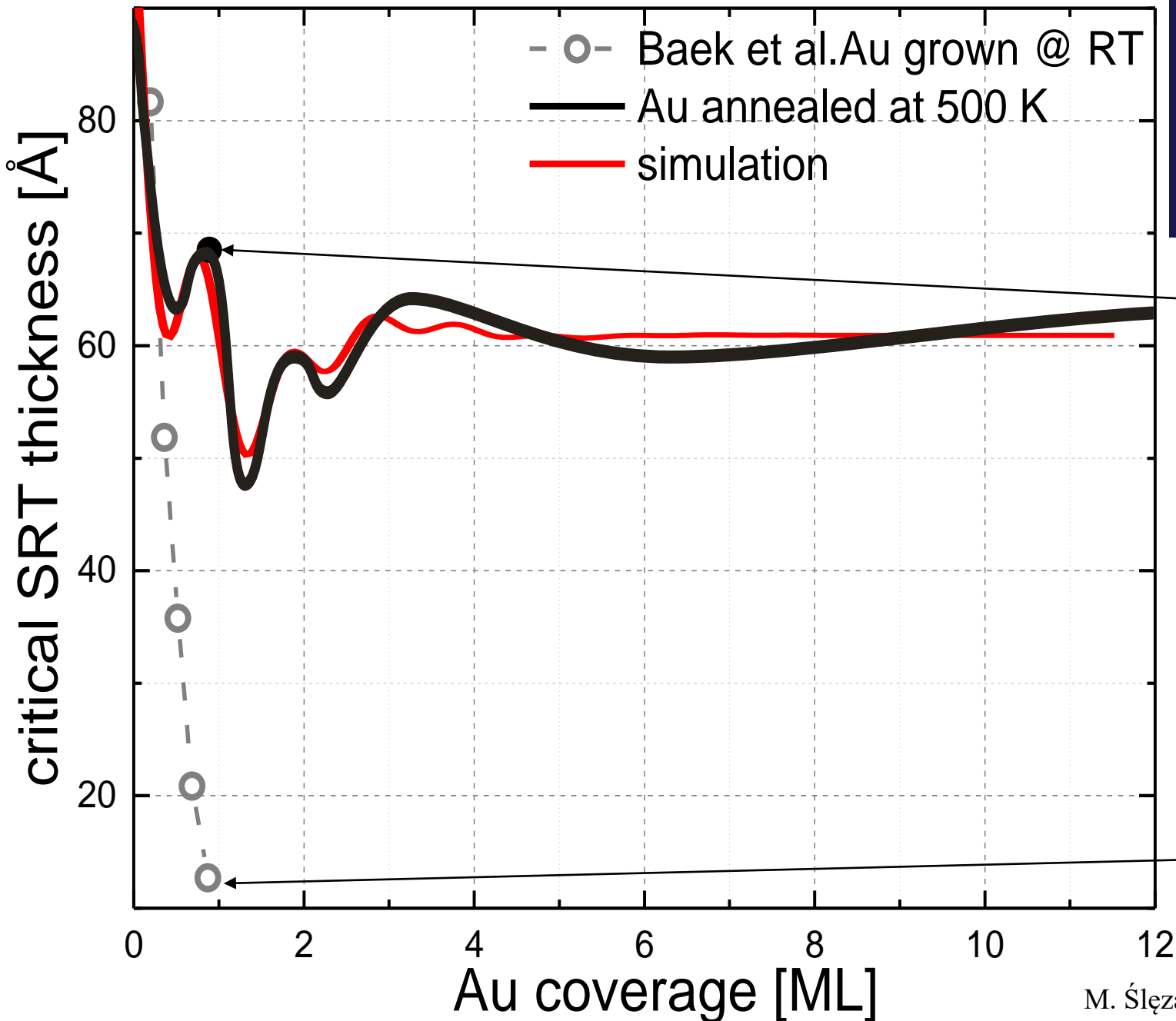
$d=6\text{nm}$



Fruchart et al., *PRB* 67, 075401 (2003)

Baberschke et al. *PRB* 47 (1993) 11204

Au/Fe(110): oscillating magnetic anisotropy



KS orientation of Au(111)/Fe(110)
 $[1-10]_{\text{Au}} \parallel [111]_{\text{Fe}}$

- 2 oscillating components:
- Au monolayer period
 - ~ 4 ML Au period

NW orientation of Au(111)/Fe(110)
 $[1-10]_{\text{Au}} \parallel [001]_{\text{Fe}}$

Układy dwuwarstwowe AFM/FM

CoO/Fe(110)

NiO/Fe(110)

Antyferromagnetyki - motywacja

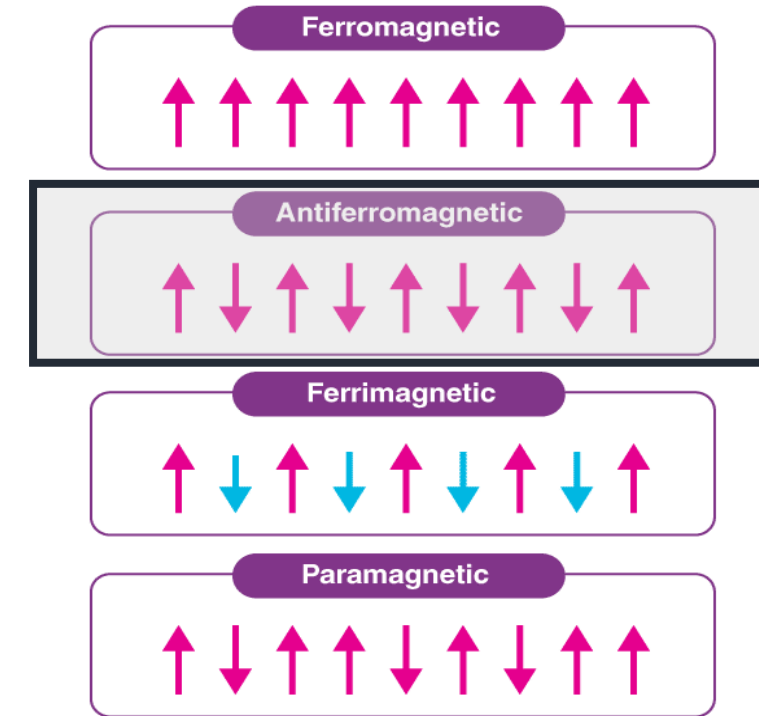
LOUIS NÉEL

Magnetism and the local molecular field

Nobel Lecture, December 11, 1970



„They are **extremely interesting** from the theoretical viewpoint, but **do not seem to have any applications**”



The 2020 magnetism roadmap

E. Y. Vedmedenko et al 2020 J. Phys. D: Appl. Phys.53 453001

„the future of spintronics is related to new materials, with **antiferromagnets** as promising nominees.”

- robust against external magnetic fields
- produce no stray fields
- display ultrafast dynamics
- large magnetotransport effects

Odkrycie zjawiska *exchange bias*

Phys. Rev., 105, 904 (1957)

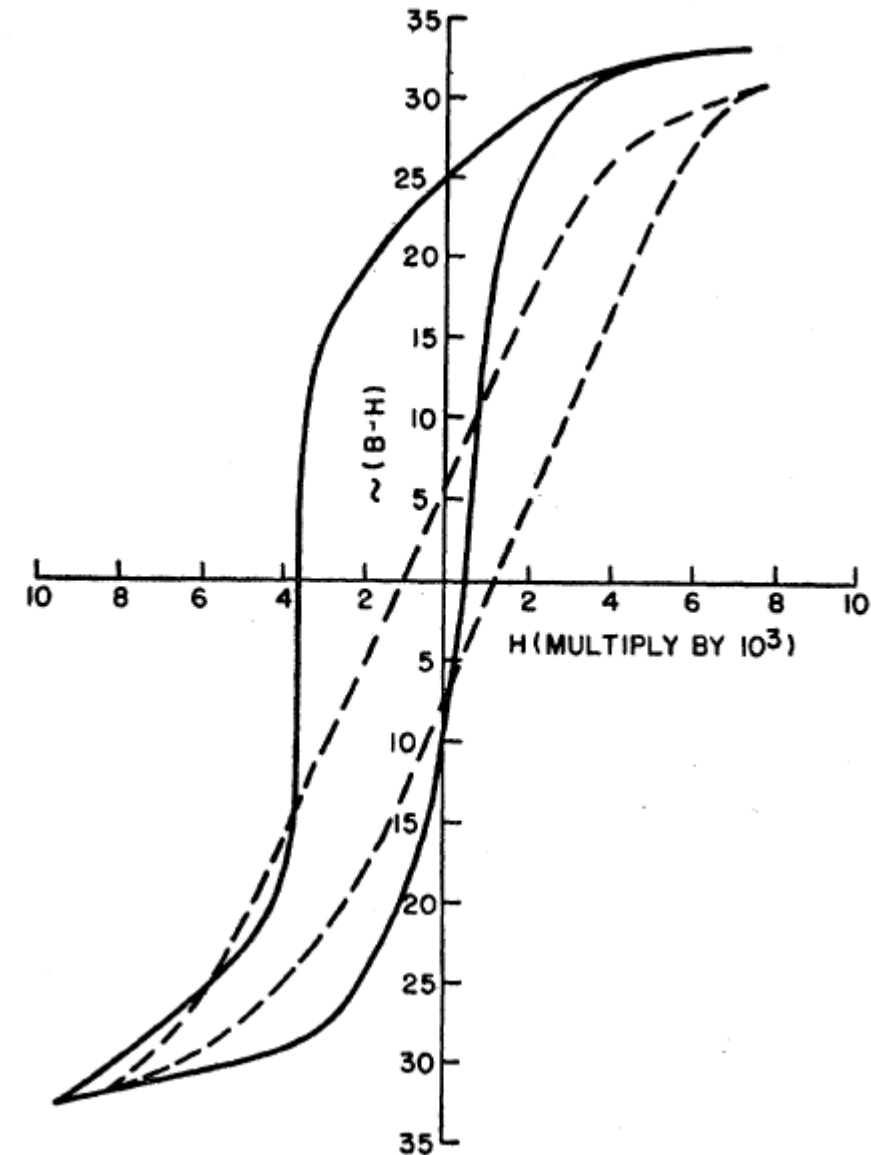
New Magnetic Anisotropy

W. H. MEIKLEJOHN AND C. P. BEAN

General Electric Research Laboratory, Schenectady, New York

(Received March 7, 1956)

Co particles embedded in their native
antiferromagnetic oxide CoO

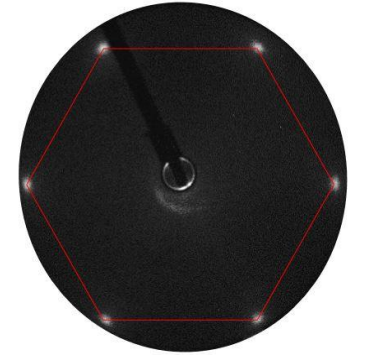


W. H. Meiklejohn and C. P. Bean, Phys. Rev. 102, 1413 (1956).

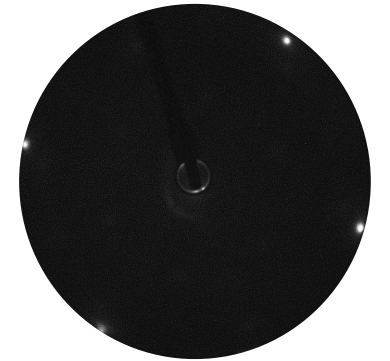
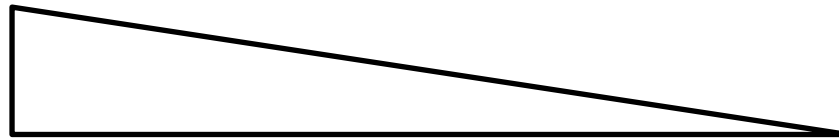
W. H. Meiklejohn and C. P. Bean, Phys. Rev. 105, 904 (1957).

CoO/Fe(110)

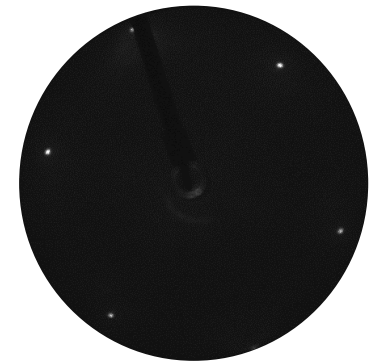
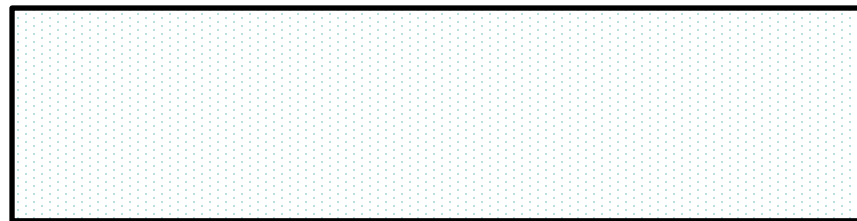
CoO(111): 90 Å



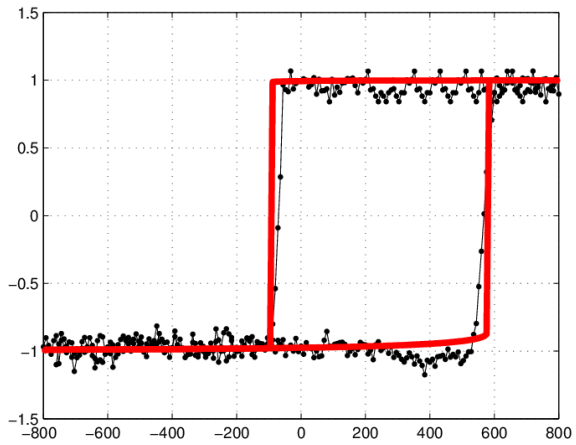
Fe(110) wedge: 80 - 300 Å



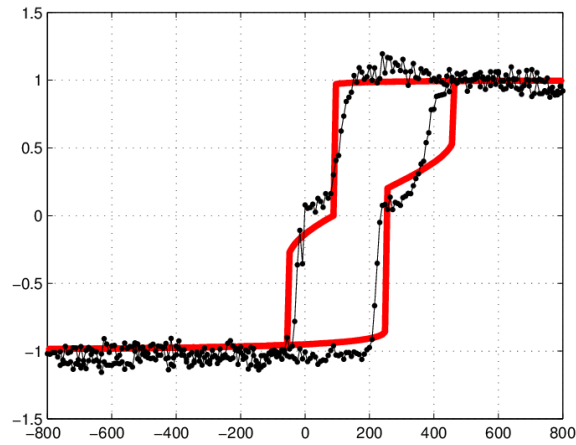
substrate: W(110) single crystal



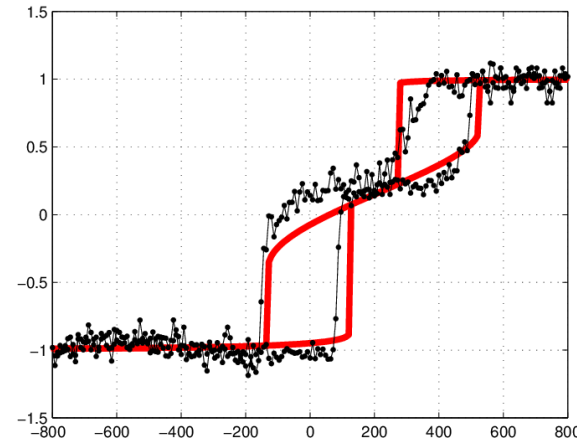
CoO(111) on Fe(110): simulations vs MOKE results



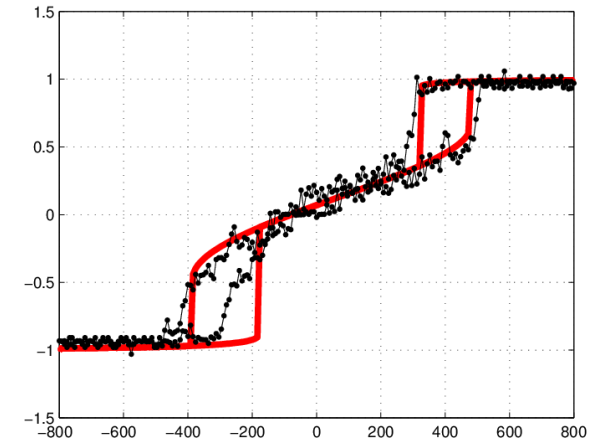
$$d_{\text{Fe}} = 80 \text{ \AA}$$



$$d_{\text{Fe}} = 110 \text{ \AA}$$

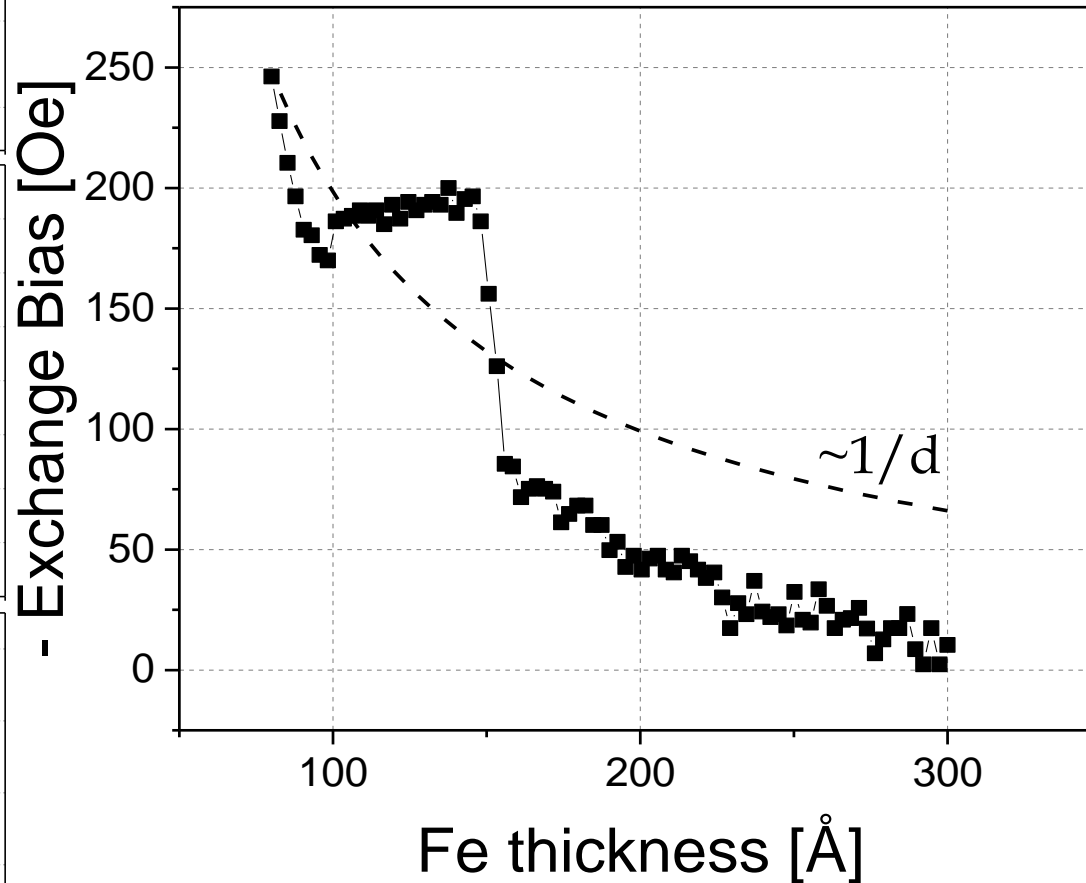
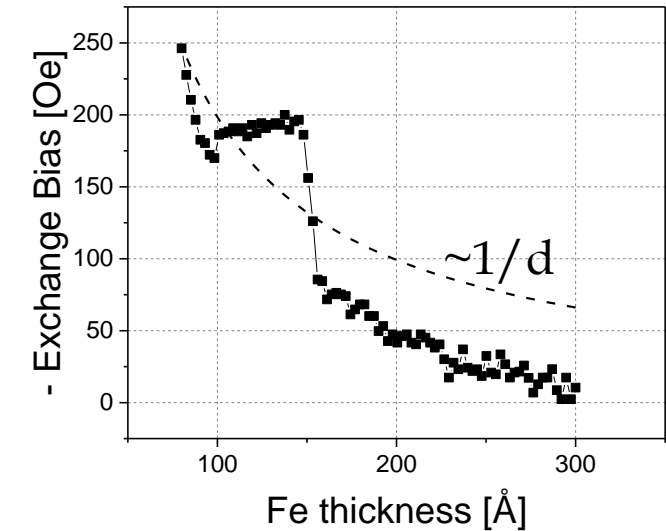
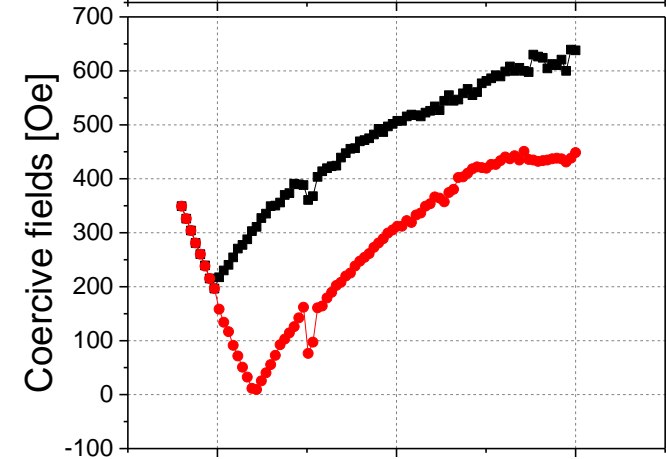
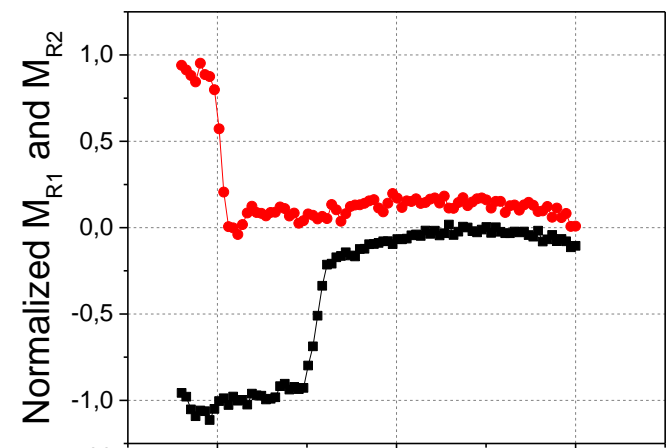


$$d_{\text{Fe}} = 140 \text{ \AA}$$



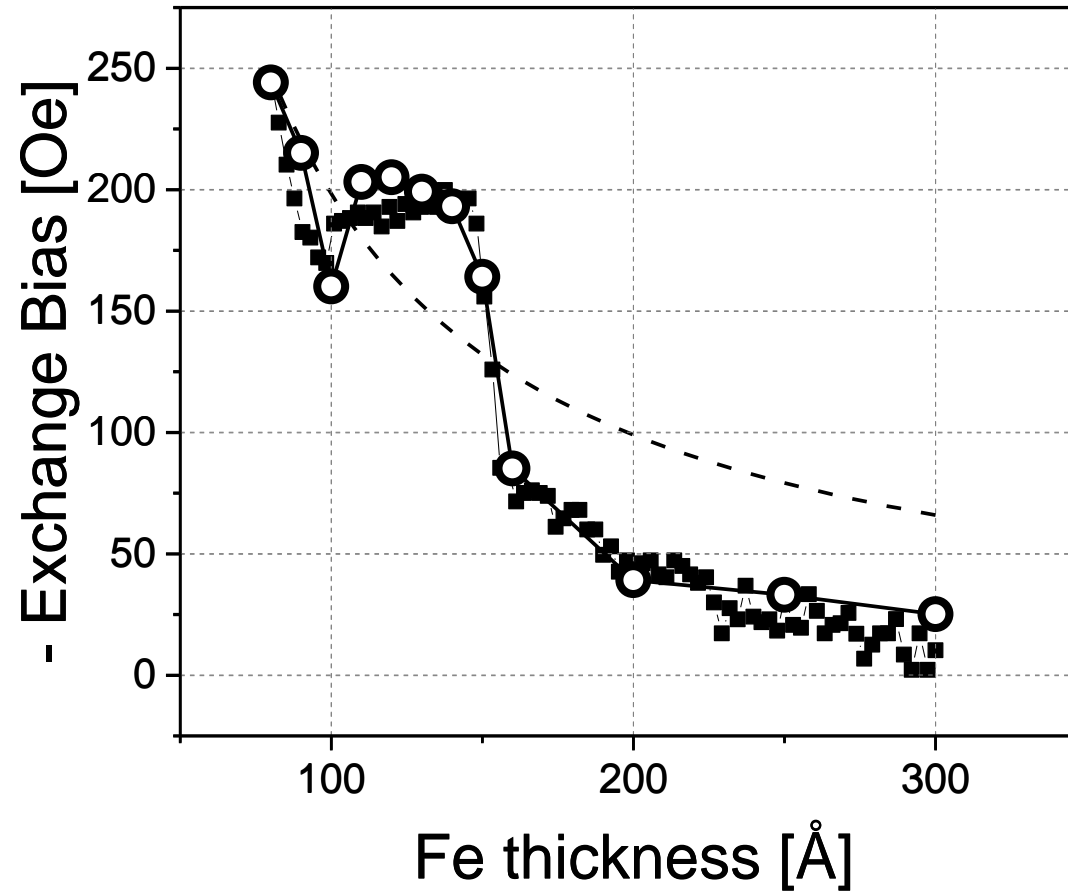
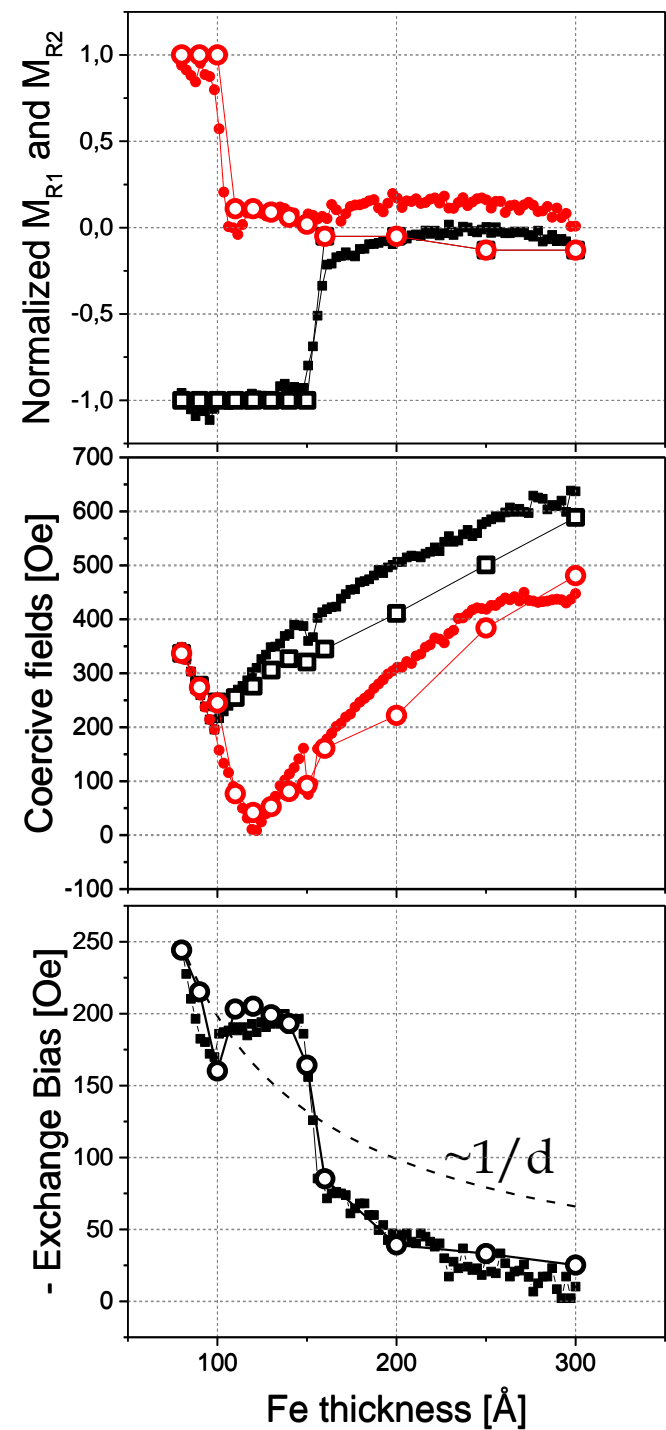
$$d_{\text{Fe}} = 200 \text{ \AA}$$

CoO(111) on Fe(110): evolution of magnetic hysteresis loops

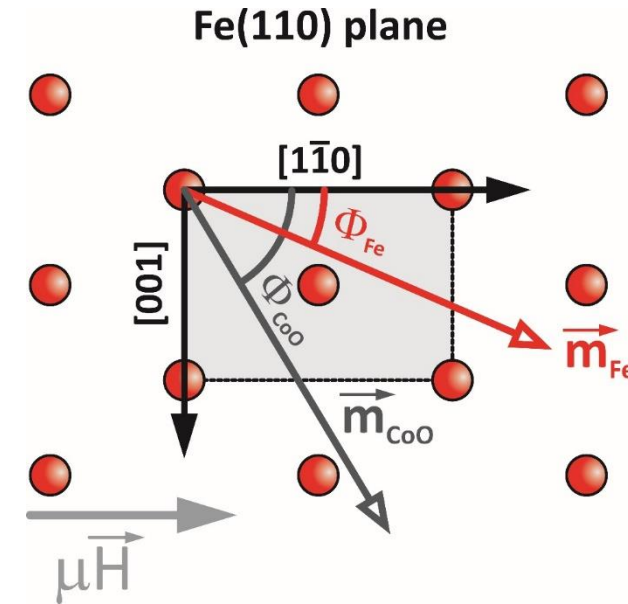
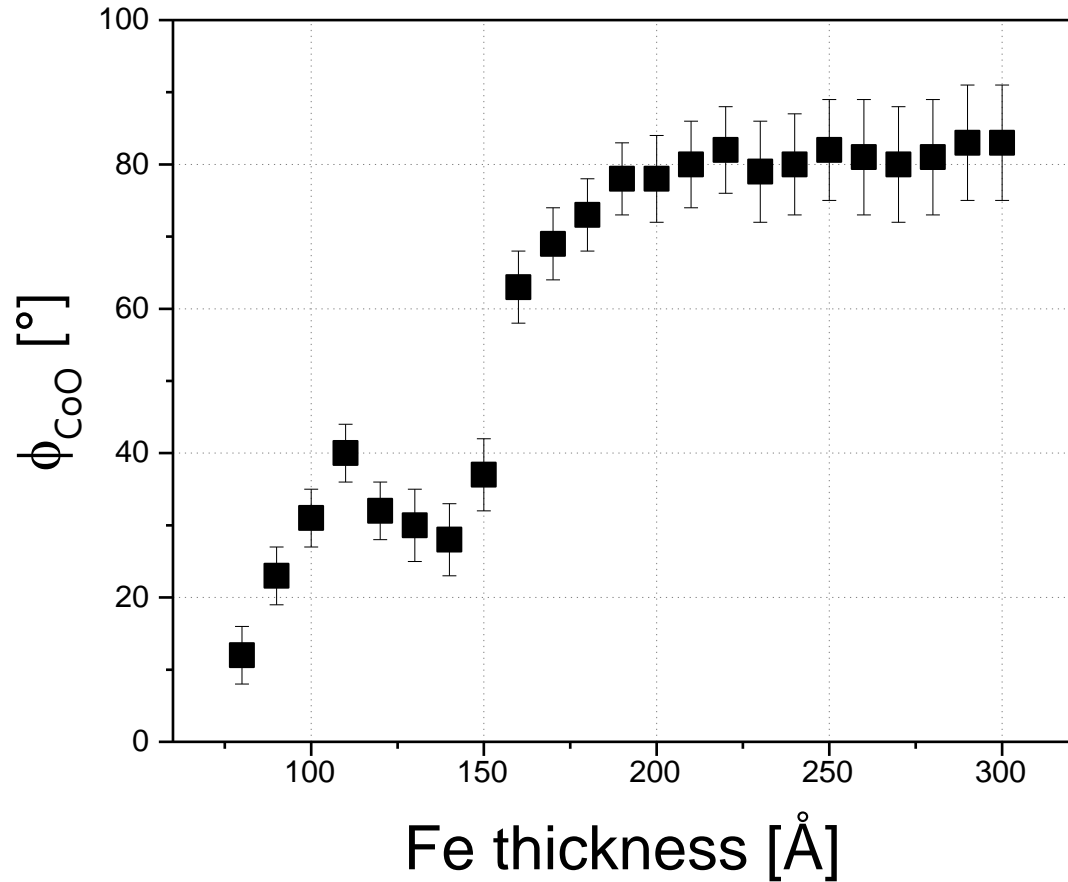


- Non-monotonous H_{eb} vs d dependence
- Not proportional to $1/d$

CoO(111) on Fe(110): simulations vs MOKE results



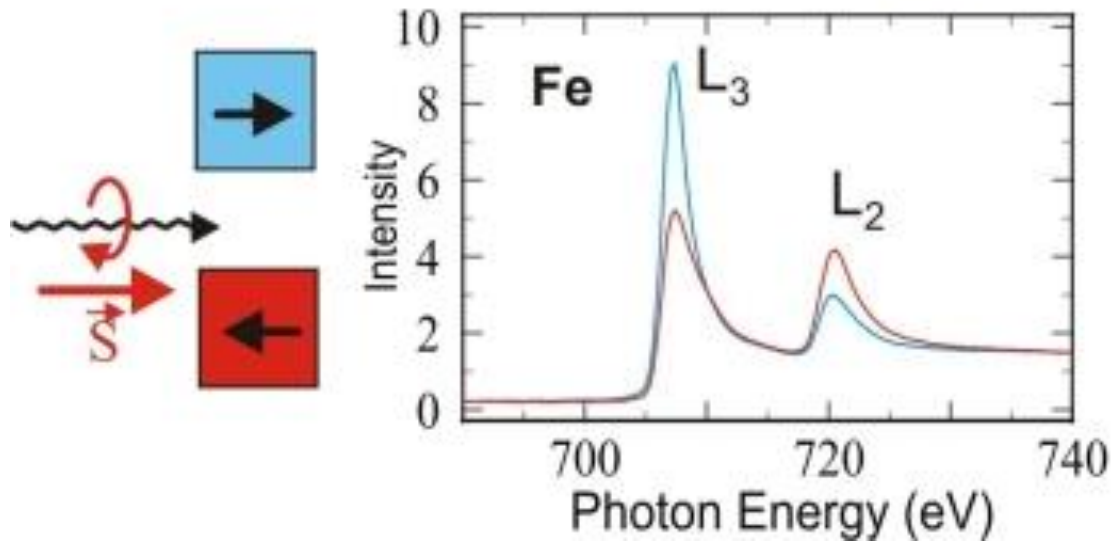
Reorientacja spinowa w CoO(111)



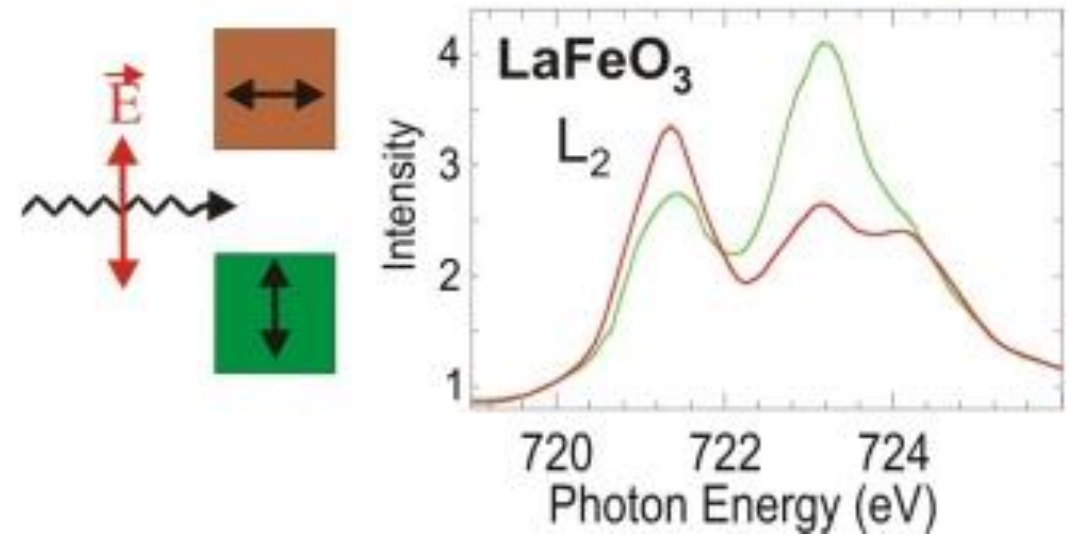
- Fe działa jak lokalne pole magnetyczne przy przekraczaniu T_N
- Fe „zamraża” spiny CoO wzdłuż wybranego kierunku

XMCD i XMLD

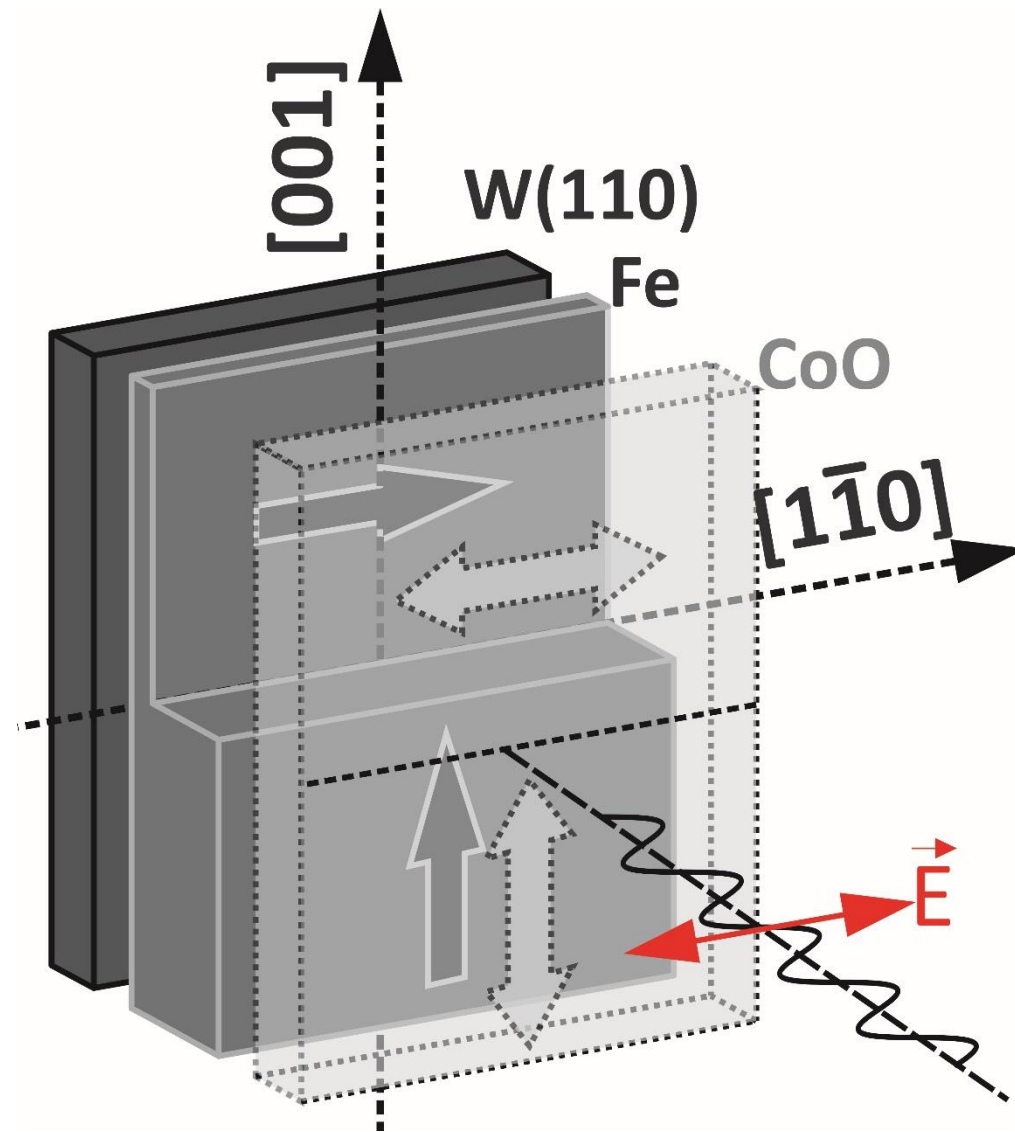
Circular Dichroism - Ferromagnets



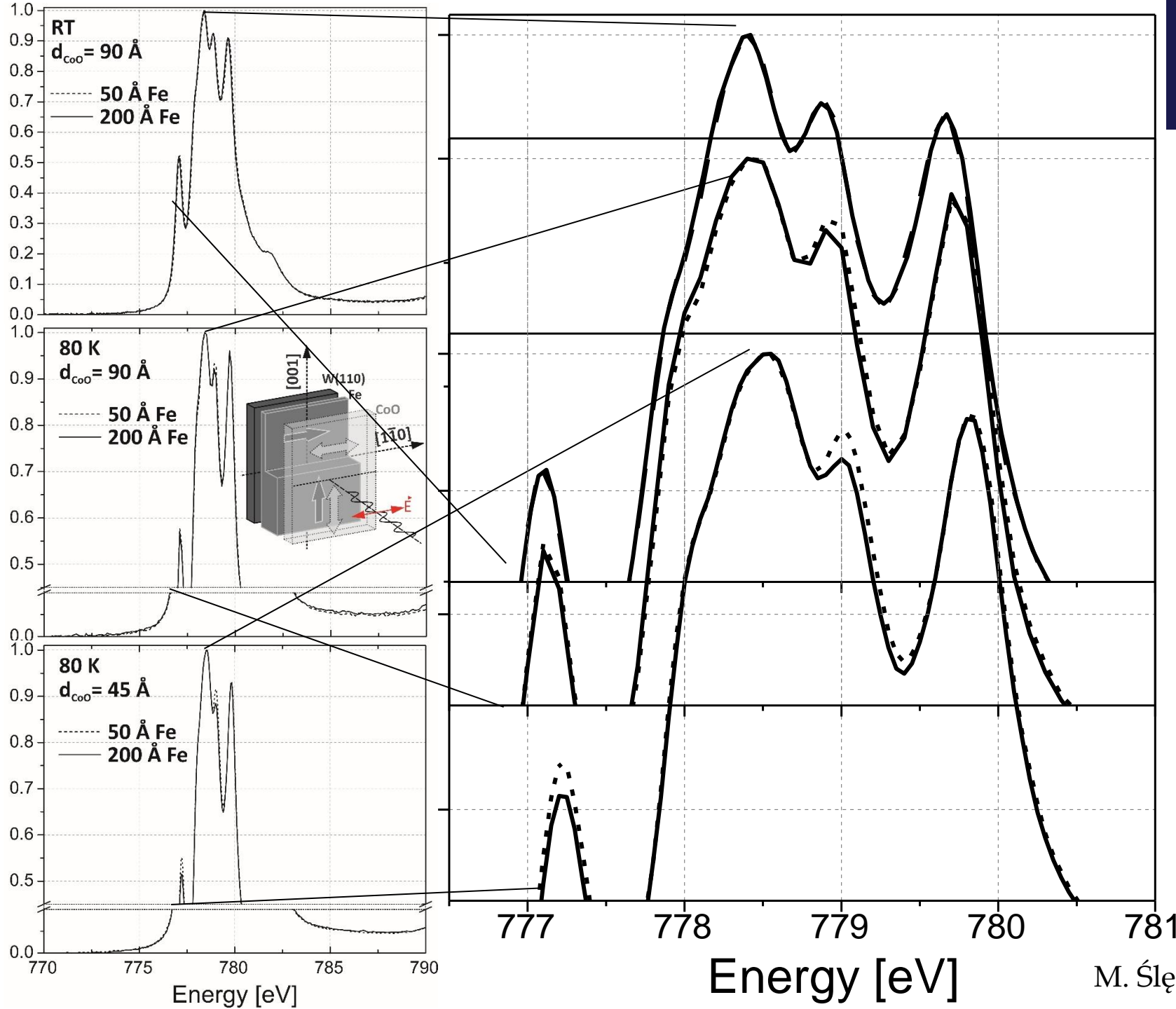
Linear Dichroism - Antiferromagnets



Looking for direct evidence of SRT in CoO: XMLD @ Solaris, XAS end-station



Direct evidence of SRT in CoO: XMLD

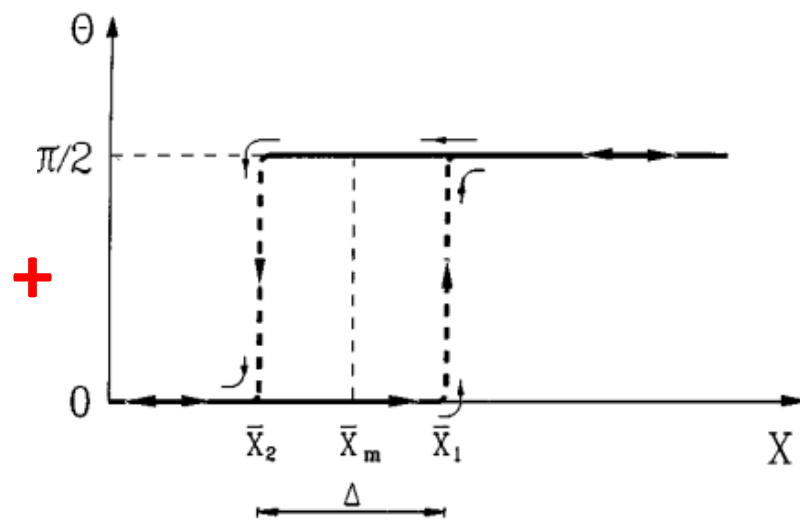
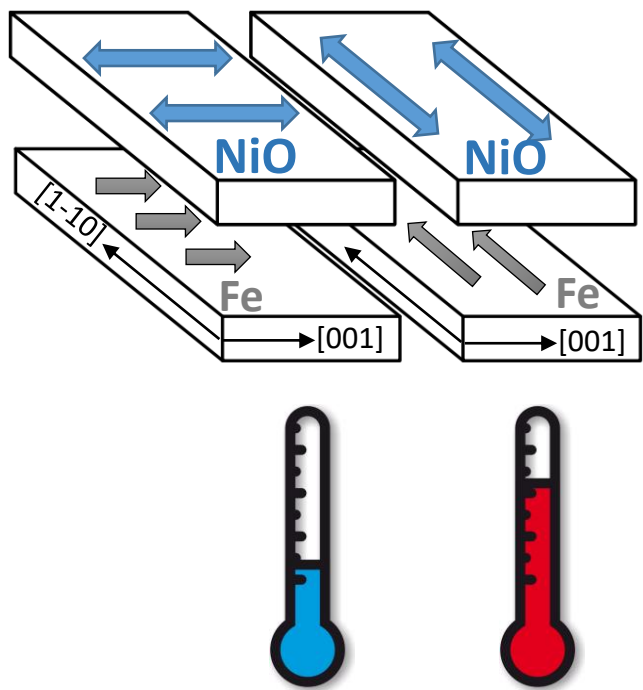


→ rotation of CoO spins
from Fe[1-10] to
Fe[001]

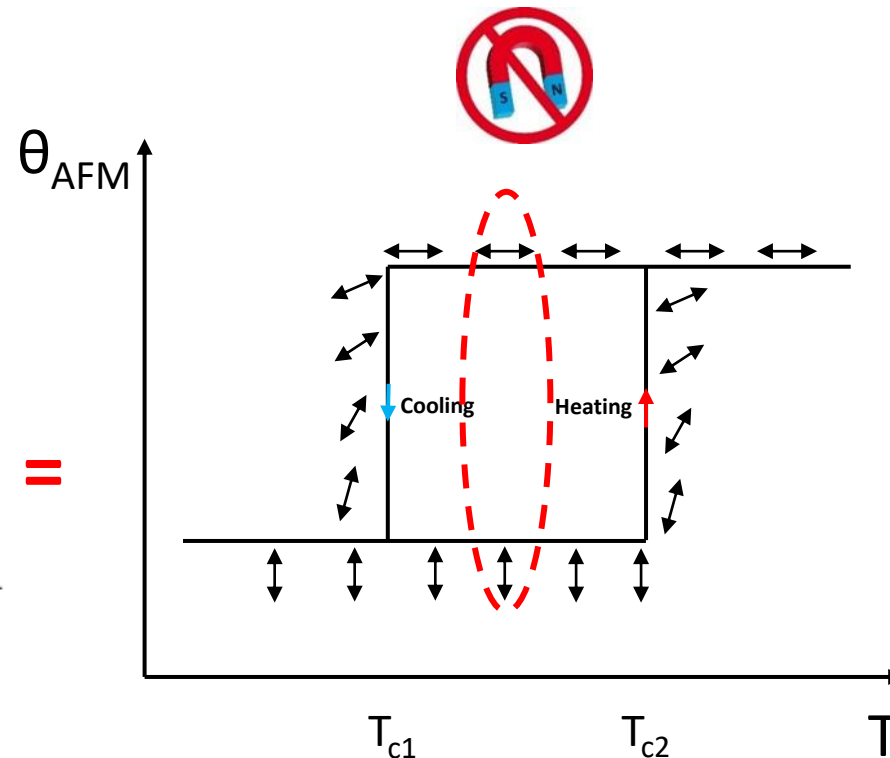
following the XMLD analysis by Li et al., *Phys. Rev. B* **91**, 104424 (2015)

NiO(111)/Fe(110):

idea przełączania spinów AFM w układzie jednorodnym, bez użycia pola, prądu, itp.
(ustalona grubość warstw Fe i NiO)



Y.Millev, J. Kirschner, PRB 54 (1996) 6

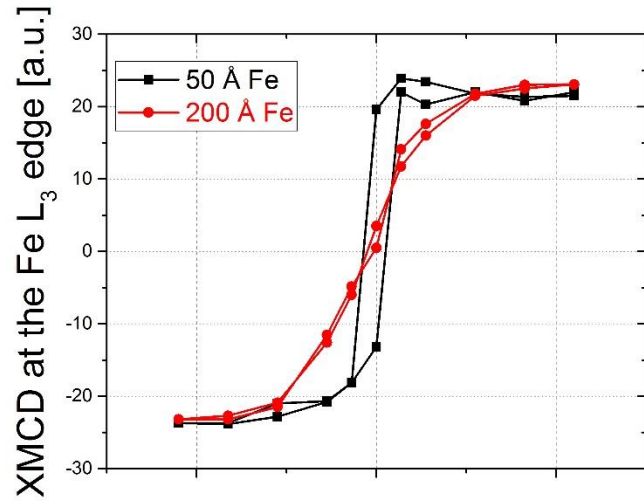


NiO: mała anizotropia magnetyczna
→ spiny NiO „rotatable”

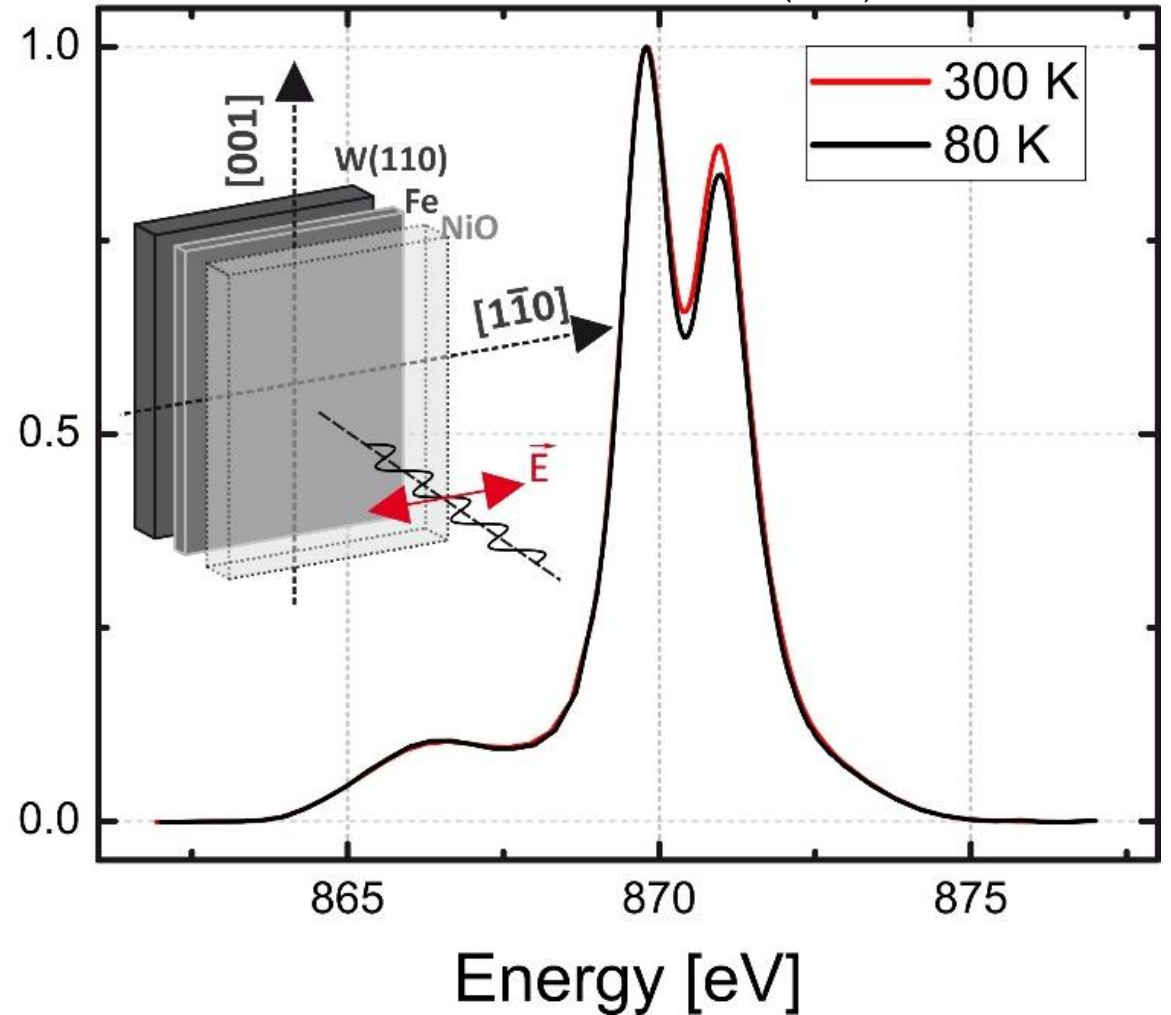
Temperaturowe **SRT** w Fe,
histereza

2 możliwe orientacje spinów AFM w NiO,
w danej temperaturze
przełączanie „field-free”

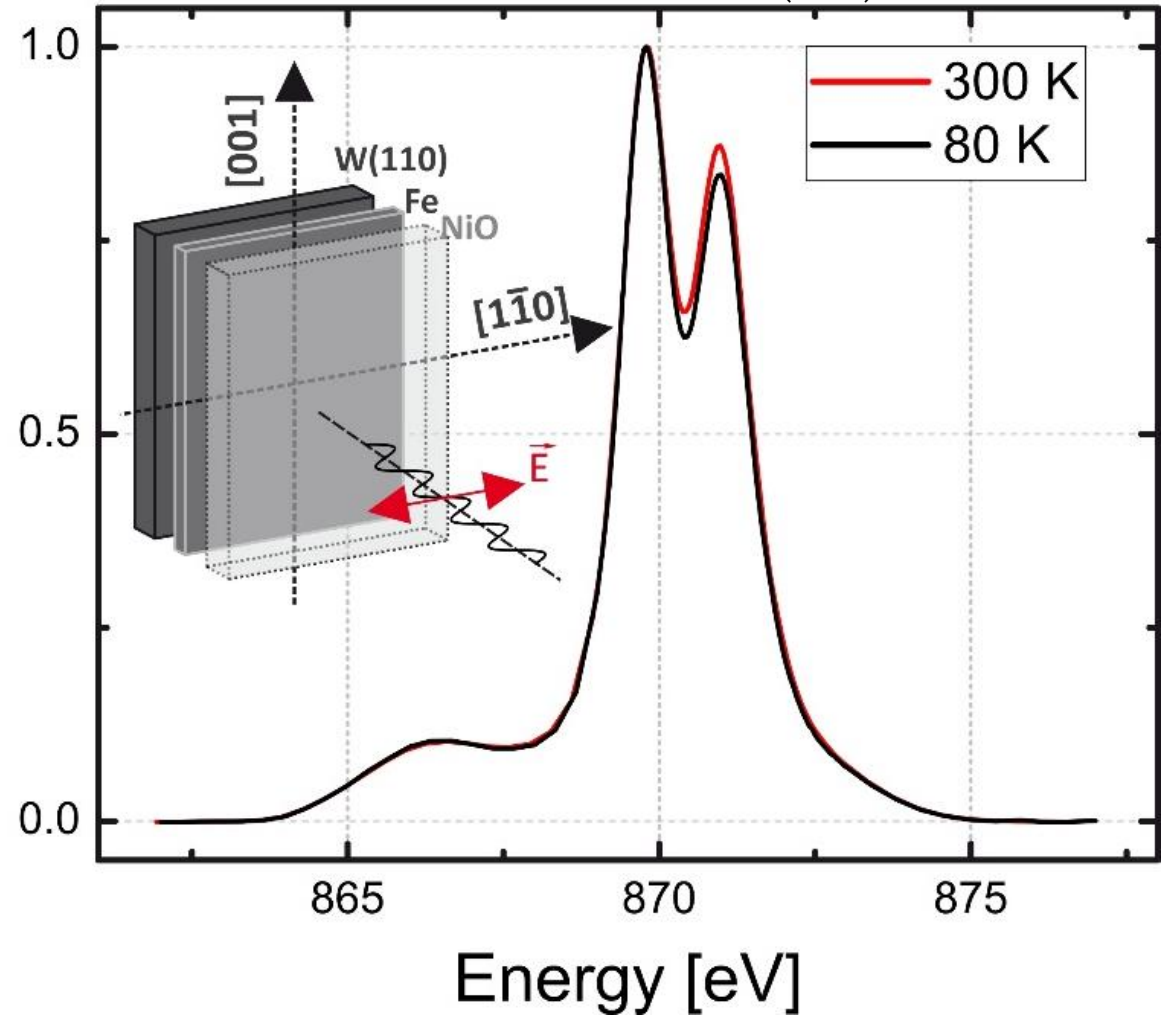
NiO(111)/Fe(110): field-free switching of AFM spins

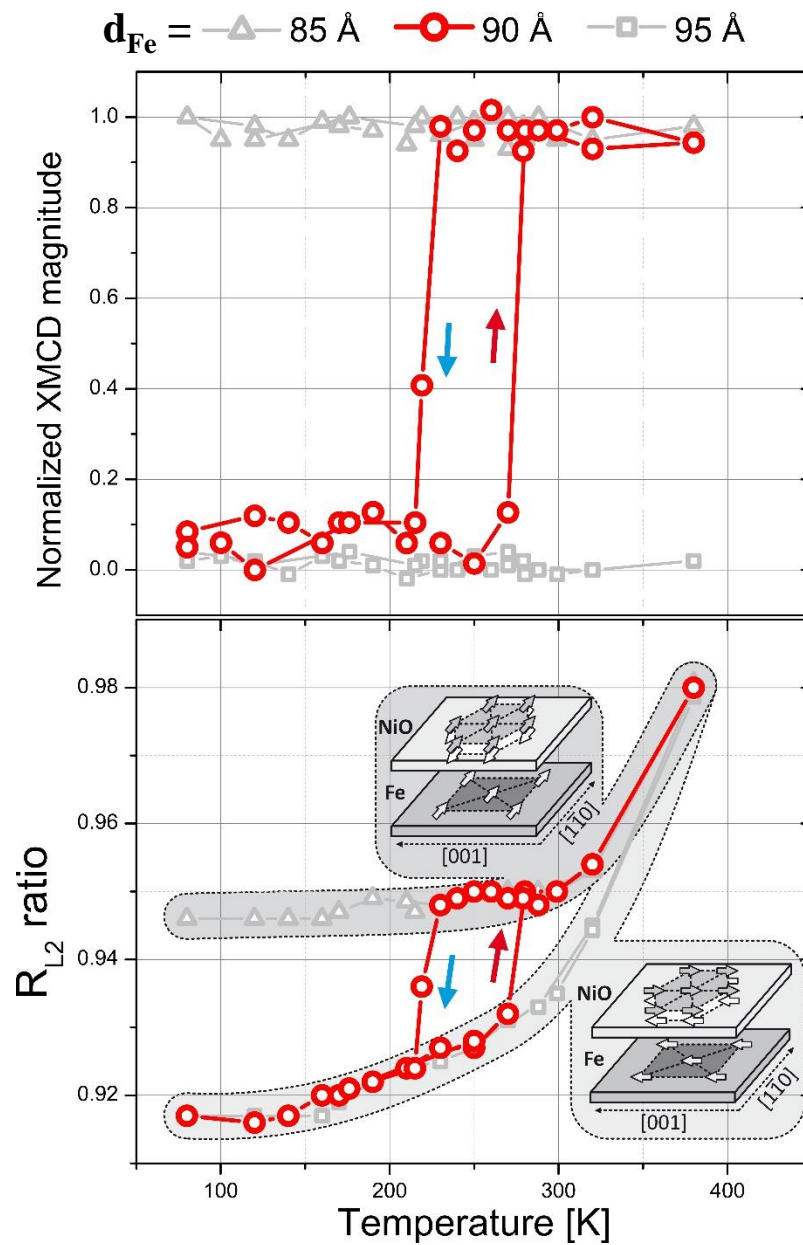


Temperature induced
SRT in NiO on Fe(110)

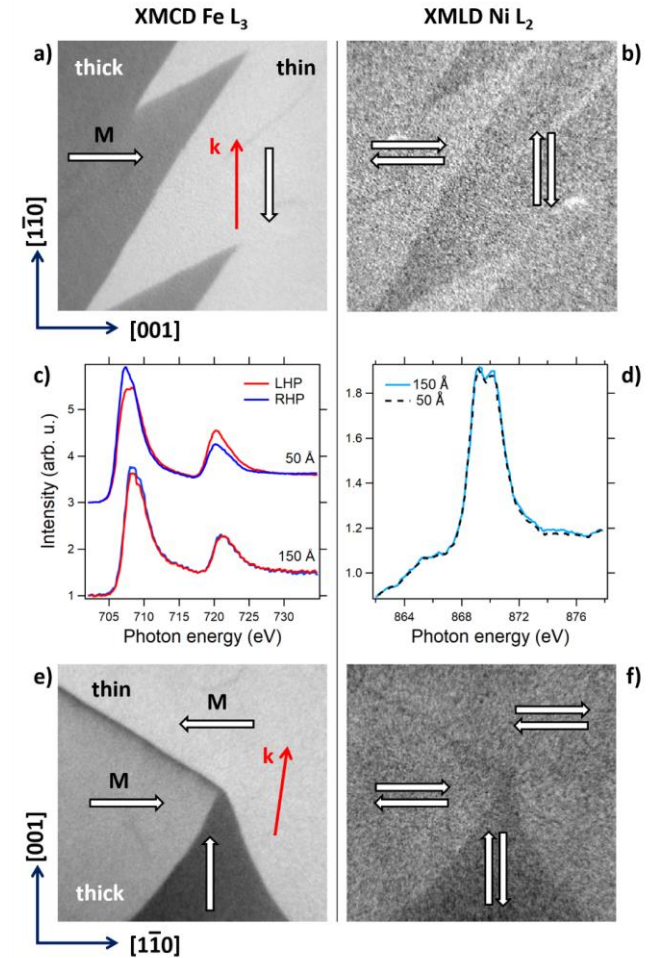


Indeed, NiO spins
are rotatable





XMLD-PEEM at Nanospectroscopy beamline (Elettra, Trieste)



Plany na przyszłość:

- nanostruktury
- układy stricte AFM (bez ferromagnetyków)

ANTIFERROMAGNETIC SPINTRONICS
FROM TOPOLOGY TO NEUROMORPHIC COMPUTING

Workshop October 7th - 10th, 2019
Schloss Waldthausen, Mainz, Germany

ORGANIZERS:
Shunsuke Fukami (Sendai)
Tomas Jungwirth (Prague)
Hideo Ohno (Sendai)
Jairo Sinova (Mainz)

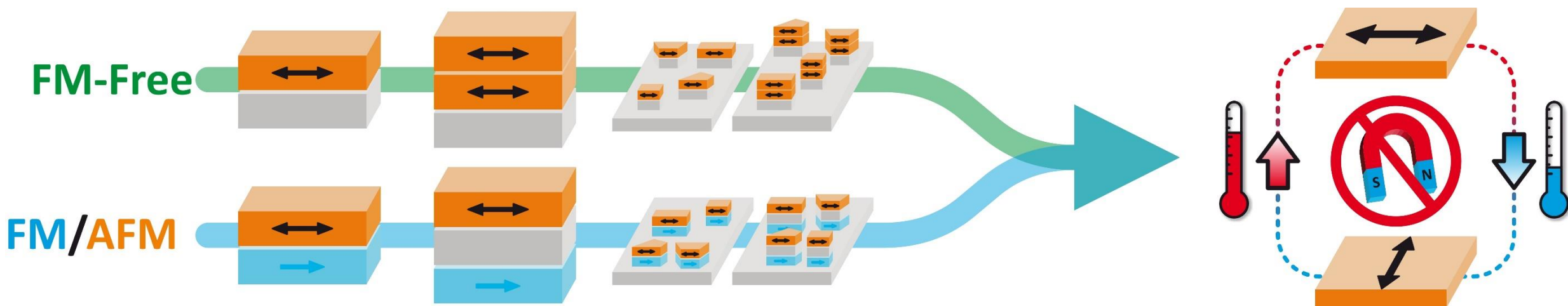
SP/CE



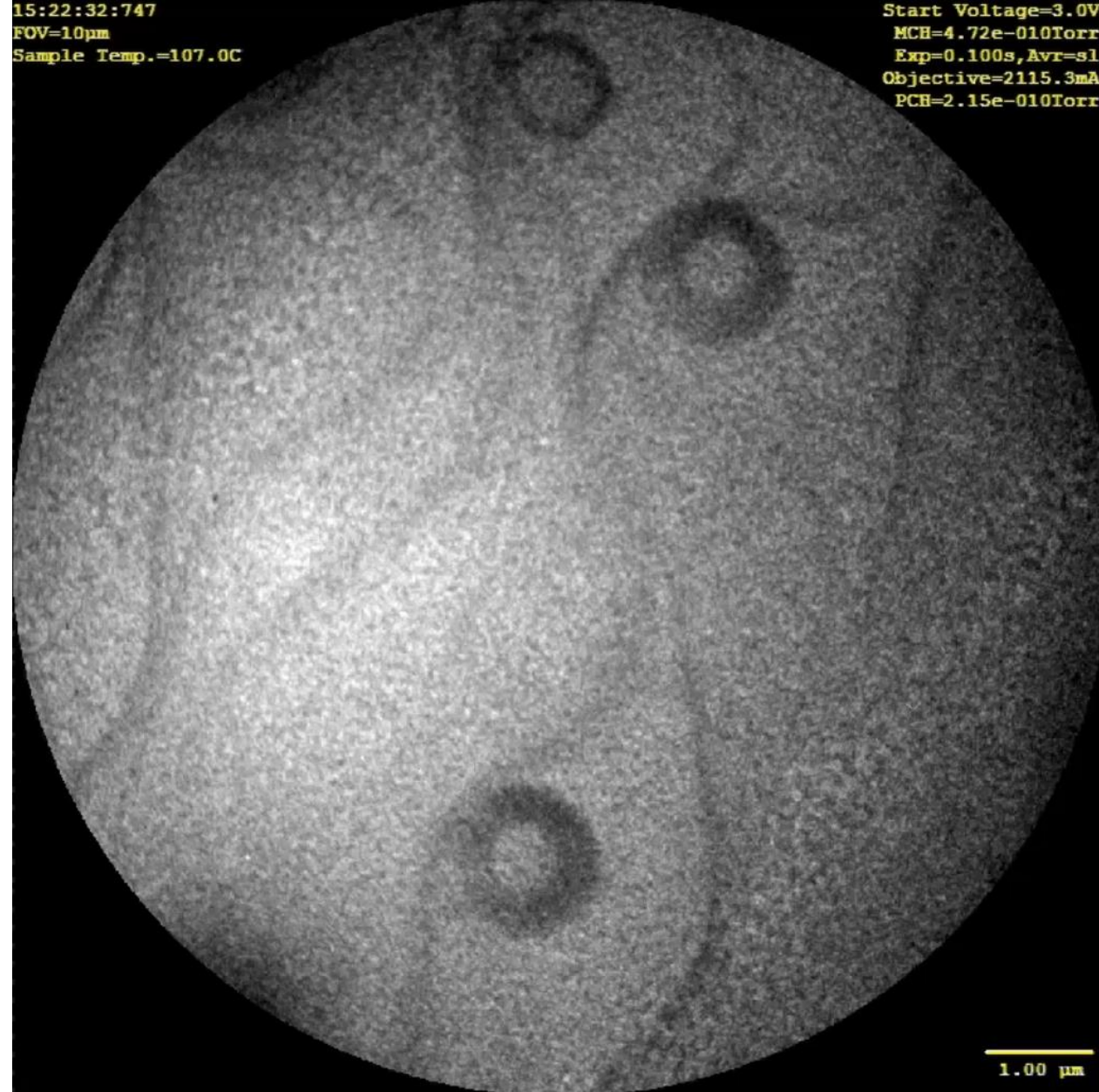
Poster Design: SuperNova Studios, LLC

Plany na przyszłość:

- nanostruktury
- układy stricte AFM (bez ferromagnetyków)



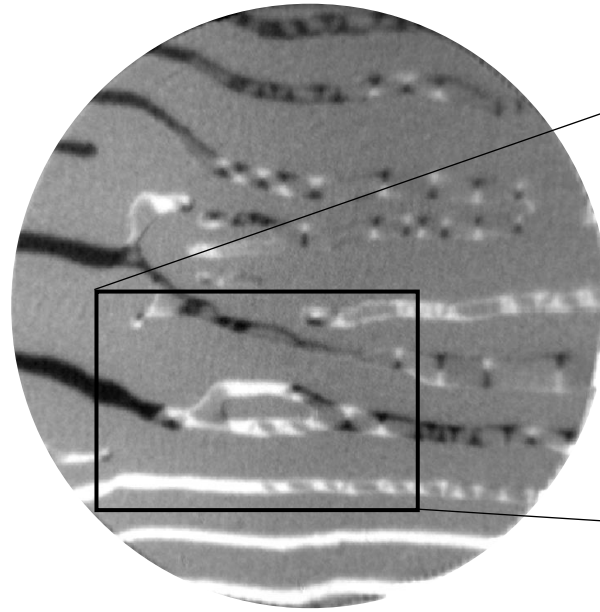
Nanostruktury



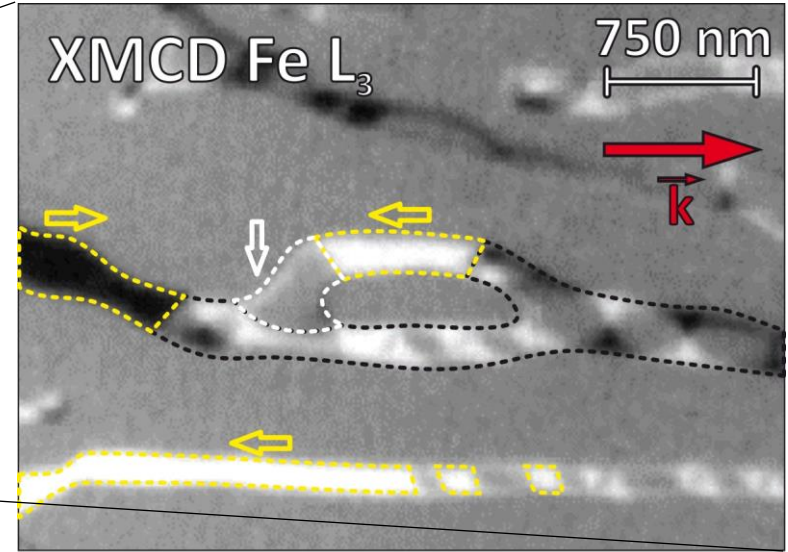
Nanostruktur NiO(111)/Fe(110)

XML(C)D-PEEM at Nanospectroscopy beamline
(Elettra, Trieste)

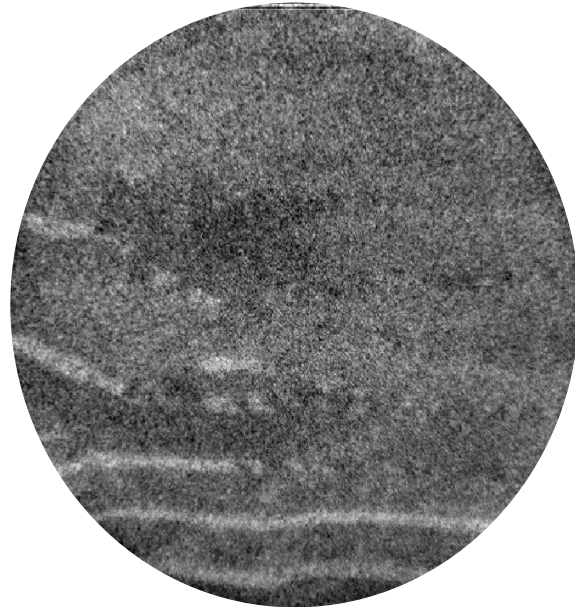
XMCD: Fe



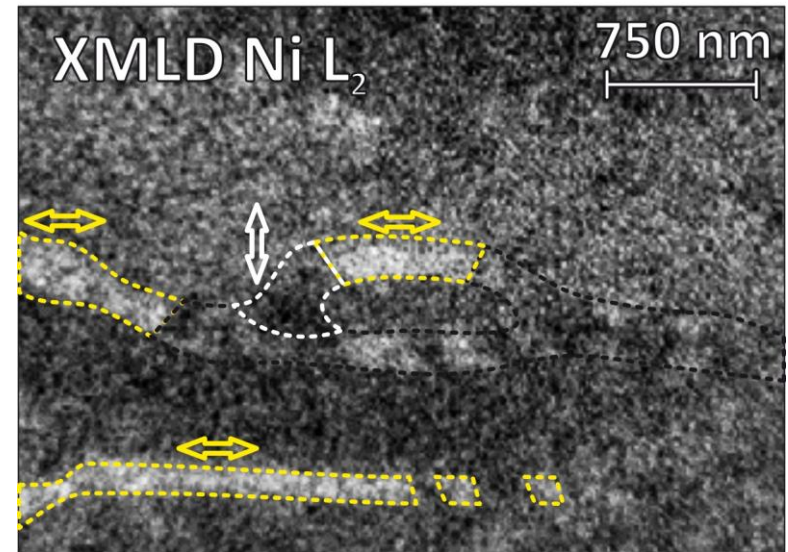
XMCD Fe L_3



XMLD: NiO

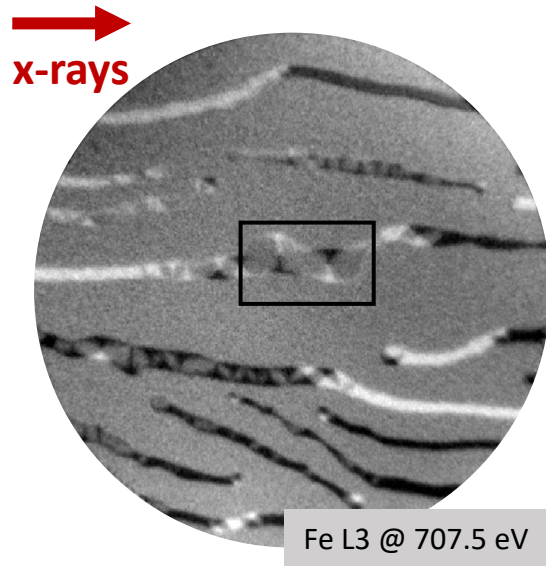


XMLD Ni L_2



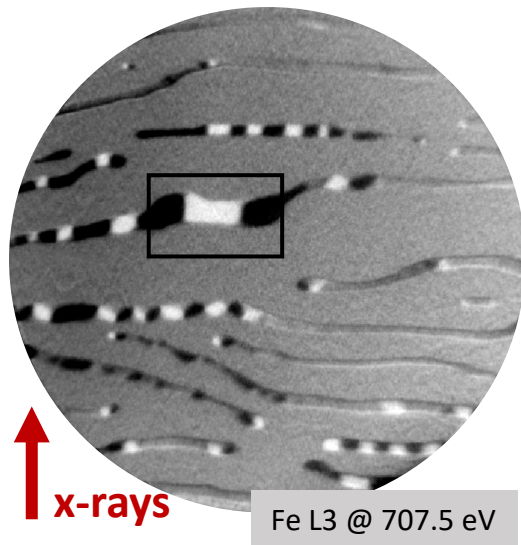
Nanostruktury NiO(111)/Fe(110)

XMCD



XMCD

Po obrocie próbki

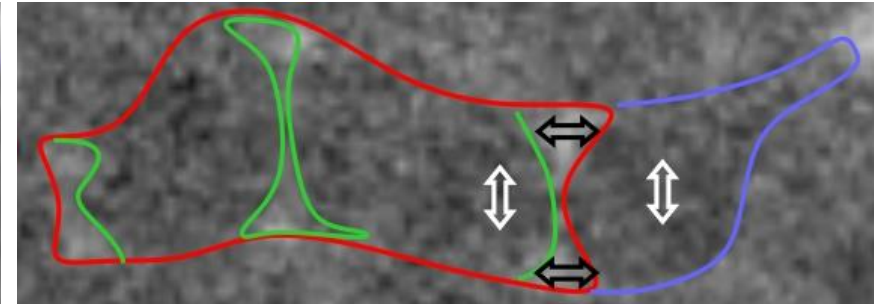
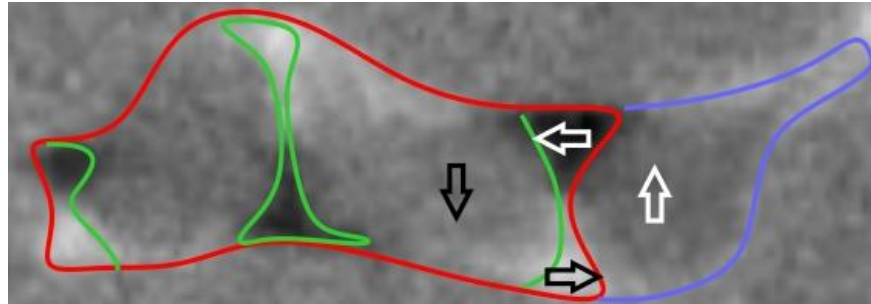


XML(C)D-PEEM at Nanospectroscopy beamline
(Elettra, Trieste)

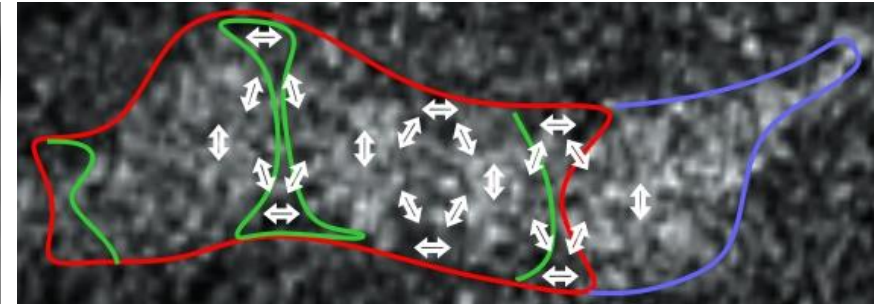
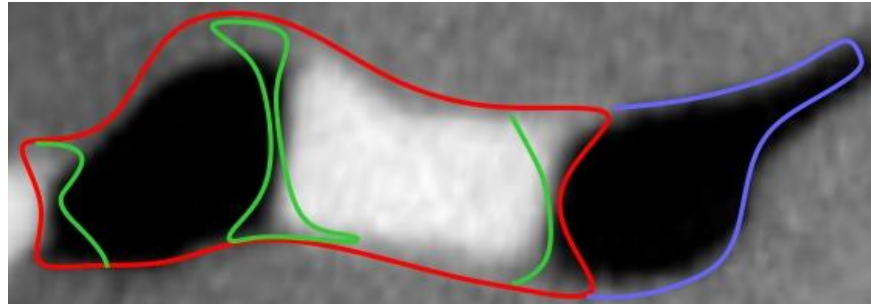
Nanostruktury NiO(111)/Fe(110)

XMCD

XMLD



Po obrocie próbki



500 nm

Pomiar: T. O. Menteş, F. Genuzio, A. Locatelli, XML(C)D-PEEM, Nanospectroscopy beamline (Elettra, Trieste)

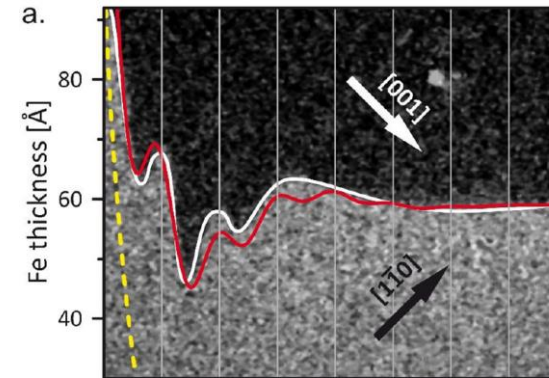
Wizualizacja proponowanej struktury magnetycznej: D. Wilgocka-Ślęzak

Podsumowanie

- Inżynieria anizotropii magnetycznej na powierzchni Fe(110)

Physical Review B 94 (2016) 014402

JMMM 497, 165963 (2020)



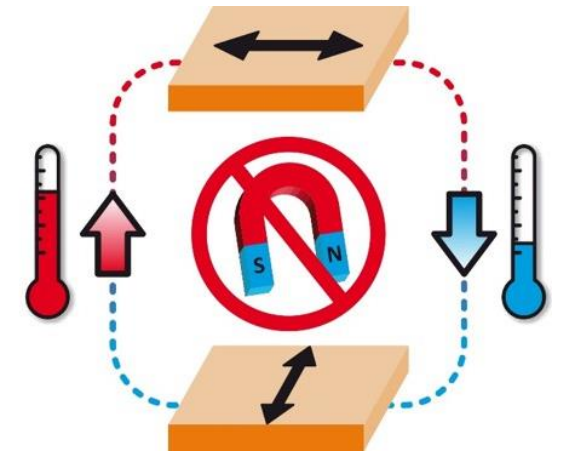
- AFM/Fe(110):

- CoO/Fe(110) – „zamrażanie” spinów AFM

Scientific Reports 9 (2019) 889

- NiO/Fe(110) – wzbudzona temperaturowo reorientacja AFM

Nanoscale 12 (2020) 18091



- Nanostruktury

